

آلاش ماقمایی به وسیله بیگانه سنگ‌های رسی شیستی فرو افتاده در باтолیت تله-پهلوانی، شهر بابک، ایران

عبدالناصر فضل‌نیا*

*گروه زمین‌شناسی، دانشکده علوم پایه، دانشگاه ارومیه، ارومیه، ایران

تاریخ پذیرش: ۱۳۸۸/۰۸/۲۰

چکیده

تزریق توده ماقمایی غیرکوهزایی لوکو کوارتز دیوریتی-آنورتوزیتی تله‌پهلوانی به بخش شمال باختر کمپلکس دگرگونی قوری (جنوب باختر زون سنتنج-سیرجان) در حدود ۱۷۰ میلیون سال پیش، باعث شد تا قطعاتی از سنگ‌های رسی دگرگون شده (که به طور عمده کایانیت شیسته‌های دگرگونی ناحیه‌ای هستند) از این کمپلکس، خرد شوند و درون این توده ماقمایی سقوط نمایند. توده ماقمایی اولیه بی‌آب و بسیار پر حرارت بوده است؛ در نتیجه، باعث شده تا قطعات فرو افتاده، دگرگونی مجاورتی شدیدی (در حد دگرگونی‌های رخساره پیرو متامرفیسم) را تحمل نمایند. آبدار بودن قطعات رسی شیستی دگرگون شده ناحیه‌ای (به دلیل فراوانی مسکوویت+بیوتیت) باعث شد تا شرایط ذوب بخشی فراهم شود؛ در نتیجه، برخی از این بیگانه سنگ‌ها به دلیل ذوب بخشی، سست شده و در نتیجه همرفتی در توده، در سراسر ماقمای اصلی پراکنده و باعث آلاش گسترده در ماقما شدند.

کلیدواژه‌ها: باтолیت تله‌پهلوانی، لوکو کوارتز دیوریت-آنورتوزیت، ذوب بخشی، بیگانه سنگ رسی (شیست)، آلاش ماقمایی

E-mail: a.fazlnia@mail.urmia.ac.ir

۱- مقدمه

قاره‌ای در طول توآرسین (پایان ژوراسیک ابتدایی) باعث شد تا بخش جنوب باختری زون سنتنج-سیرجان (کمپلکس دگرگونی قوری؛ شکل ۱) دچار دگرگشکلی و دگرگونی شود (Fazlnia et al., 2009; Fazlnia et al., 2007). پس از واقعه دگرگونی ناحیه‌ای، عملکرد سیستم کافت در سرزمین ابرقاره گندوانا (Glonka, 2004; Sears et al., 2005) دست کم در بخش جنوبی زون دگرگونی سنتنج-سیرجان، باعث جدایش آن از این ابرقاره شد. در نتیجه این حادثه، ماقماتیسم غیرکوهزایی، رخداد چیره در محدوده مورده برسی شد. توده‌های نفوذی کوچک مافیک-اولترامافیک تله‌پهلوانی (فضل‌نیا، ۱۳۸۸) و باтолیت ناهمگن تله‌پهلوانی با قطری حدود ۴۰ کیلومتر حاصل از این رویداد سنگ‌شناختی غیرکوهزایی هستند. این توده‌ها در سنگ‌های رسی دگرگون شده شمال خاور کمپلکس دگرگونی قوری نفوذ کرده‌اند (شکل ۱). باтолیت تله‌پهلوانی ترکیب اولیه لوکو کوارتز دیوریتی-آنورتوزیتی دارد (فضل‌نیا، ۱۳۸۸). این باтолیت از سنگ‌های لوکو کوارتز دیوریتی-آنورتوزیتی و انواع آلاش یافته‌های از آنها، بیگانه سنگ‌های رسی دگرگون شده (قطعاتی از شیسته‌های دگرگونی ناحیه‌ای)، بیگانه سنگ‌های گابرویی نامتعادل و گراینیت‌های پرآلومینوس تشکیل شده است. قطعات فرو افتاده (بیگانه سنگ‌ها) در این ماقما، به طور عمده سنگ‌های رسی شیستی دگرگون شده هستند. بنابراین بیگانه سنگ‌های حاضر، غنی از کانی‌های آلومینیم‌دار هستند. عدسی‌های کوچکی از گراینیت‌های پرآلومینوس نوع S در باтолیت تله‌پهلوانی رخنمون دارند. تمامی مطالعات پیشین (برای مثال سبزه‌بی و همکاران، ۱۳۷۲؛ جمشیدی، ۱۳۸۲؛ ۱۳۸۸؛ ۱۳۸۶) باтолیت یادشده را یک توده گراینیتی‌یدی با طبیعت کلسیمی-فلایی (کالکو‌آلکاکن) معرفی کرده‌اند.

بر اساس بررسی‌های سن سنجی $^{40}\text{Ar}/\text{K}$ (Sheikholeslami et al., 2003; 2008) ۱۶۵ تا ۱۵۵ میلیون سال را برای آن تعیین نمودند. سن‌های به دست آمده توسط فضل‌نیا (۱۳۸۶) و (Fazlnia et al., 2007) برای بیگانه سنگ‌های رسی دگرگون شده (قطعاتی از شیسته‌های دگرگونی ناحیه‌ای) بر اساس روش SHRIMP (بر روی زیرکن) و CHIME (بر روی موナژیت) به ترتیب 167 ± 1 و 165 ± 15 (Perugini et al., 2003).

بخش‌های مختلف سرزمین ایران در اواخر پالئوزویک جزیی از بخش‌های شمال باختری سرزمین گندوانا بوده است (Golonka, 2004). سرزمین گندوانا، شکستگی و کافت‌شدگی شدیدی در انتهای پرمین، تربیاس و همچنین ژوراسیک تا ابتدای کرتاسه، تحمل کرده است و در نتیجه آن ماقماتیسم غیرکوهزایی در این زمان‌ها متداول شده است (Sears et al., 2005). نفوذ چین ماقمایی به بخش‌هایی از پوسته میانی و بالایی می‌تواند باعث انتقال حرارت شده و دگرگونی‌های مجاورتی و در صورت فراوانی نفوذی‌ها، دگرگونی‌های ناحیه‌ای کم‌فتراری از نوع باکان را ایجاد نمایند. با توجه به این که این ماقمایها بیشتر منشاء گوشه‌ای با قاعده پوسته قاره‌ای دارند، پرحرارت هستند (Ashwal, 2001; Bédrad, 1993). بنابراین نفوذ توده‌های حجمی از آنها به بخش‌های بالایی پوسته قاره‌ای، می‌تواند باعث افزایش گرادیان زمین‌گرمایی و در نتیجه دگرگونی‌های ناحیه‌ای و یا مجاورتی شدید شوند.

در سرزمین‌هایی که توده‌های نفوذی به درون مجموعه‌های دگرگونی ناحیه‌ای کهن، که اختلاف سنی و قایع سنگ‌شناختی آنها زیاد نیست، به صورت قدرمند (powerful) نفوذ نموده‌اند. در این مناطق فرو افتادن قطعات دگرگونی به درون این توده‌ها می‌تواند منجر به واپاشی بیگانه سنگ‌ها (زنولیت‌ها؛ قطعاتی از شیسته‌های دگرگونی ناحیه‌ای) و آلاش گسترده در آنها شود. گاه بیگانه سنگ‌های رسی: شیسته‌های که خود حاوی بلورهای میکای فراوان هستند (بیگانه سنگ‌های رسی، درجات شدید دگرگونی مجاورتی را تحت شرایط آبدار تحمل کرده‌اند. تحت این شرایط، فرایند ذوب بخشی بیگانه سنگ‌ها نه تنها می‌تواند مجموعه‌های کوچکی از گراینیت‌های نوع S ایجاد نماید (فضل‌نیا، ۱۳۸۸)، بلکه واپاشی آنها می‌تواند باعث آلاش گسترده در توده‌های نفوذی شود (برای مثال Kadioğlu and Güleç, 1999; Arvin et al., 2007؛ Bateman, 1995؛ Fasel, 1999؛ Kocak, 2006؛ entura et al., 2006؛ Perugini et al., 2003؛ Kumar & Rino, 2006). در برخی از بررسی‌ها بر روی توده‌های نفوذی بزرگ، ذوب بخشی بیگانه سنگ‌ها بویژه از نوع رسی (قطعاتی از شیسته‌های ناحیه‌ای) و آغشته شدن این مذاب با مذاب مادر (توده نفوذی بزرگ)، باعث آلاش گسترده شده است (Petford et al., 1996).
یک واقعه دگرگونی ناحیه‌ای از نوع بارووین حاصل از ستیر شدن پوسته

(شکل‌های ۴-الف و ۴-ب). مرز این سنگ‌ها با سنگ‌های اصلی باتولیت یادشده آشکار بوده و اندازه دانه‌ها در بخش‌های درونی و حاشیه‌ای یک میانبار لوکوگرانیتی تغییر نمی‌یابد. در برخی بخش‌ها، رگه‌های روشن موجود در بیگانه سنگ‌های با ساختار میگماتیتی (لوکوسوم) به میانبارهای لوکوگرانیتی ختم می‌شوند (شکل‌های ۳-الف و ۳-ج). فصل نیا (۱۳۸۸) نآمیخته شدن مذاب‌های بخشی جدا شده از این بیگانه سنگ‌ها با ماگمای اصلی را به واسطه ترکیب و حرارت مختلف عامل تشکیل میانبارهای لوکوگرانیتی می‌داند.

بخش‌هایی که کمترین مقدار مواد کانی‌های تیره را (مانند بیوتیت، گارنت و کردیریت) دارند، از پلاژیوکلاز همراه با مقادیر کمی از کوارتز، تیتانیت و اپیدوت باافت گرانولار تشکیل شده‌اند (شکل‌های ۵-الف و ۵-ب). برخی از نمونه‌ها فقط از پلاژیوکلاز با آنورتیت ۴۲-۴۷ درصد تشکیل شده‌اند. این بخش‌ها به طور عمده در شمال خاور، جنوب خاور باتولیت و جنوب تله‌پهلوانی دیده می‌شوند. در بقیه بخش‌های توده نفوذی، درصد این کانی‌های تیره متفاوت و با تزدیک شدن به مجموعه دگرگونی قوری در جنوب باخته، بر درصد آن افزوده می‌شود. عمده‌ترین بلورهای تیره بیوتیت و مسکوویت و کمرت گارنت و کردیریت هستند. این چهار کانی، بلورهای اصلی بیگانه سنگ‌های رسی شیستی دگرگون شده فرو افتاده در این باتولیت هستند (شکل‌های ۵-ج و ۵-د). این احتمال وجود دارد که واپاشی این بیگانه سنگ‌ها باعث شده است تا سنگی با ویژگی‌های یک گرانو-دیوریت و تونا لیت ایجاد شود. اما با توجه به ترکیب هسته پلاژیوکلازها که غنی در آنورتیت هستند (بخش شیمی کانی) و شواهد واپاشی، این سنگ‌ها همان لوکوکوارتز-دیوریت-آنورتوزیت‌ها هستند که آلایش یافته و سنگ‌هایی همگن یا ناهمنگن از نظر کانی‌شناسی ایجاد کرده‌اند.

بیگانه سنگ‌های رسی شیستی فرو افتاده بسته به ژرفای سقوط‌شان در ماگمای باتولیت، ویژگی‌های متفاوتی را نشان می‌دهند. انوعی که احتمالاً نزدیک به دیواره و سقف سقوط کرده‌اند، تنها یک دگرگونی مجاورتی حرارت متوسط را تحمل نموده‌اند. این بیگانه سنگ‌ها آثار واپاشی از خود نشان نمی‌دهند؛ زیرا به احتمال، در بخش‌هایی که سقوط کرده‌اند نه دما چندان بالا بوده و نه جریان همrfتی قوی وجود داشته است که آنها را متلاشی نماید. انواع دیگر آنهایی هستند که در جات دگرگونی شدیدی را تحمل نموده‌اند و در آنها ساختارهای میگماتیتی به خوبی توسعه یافته است (شکل‌های ۳-الف تا ۳-د). این نوع از بیگانه سنگ‌های رسی شیستی احتمالاً به بخش‌های ژرف باتولیت سقوط کرده‌اند. شواهد ذوب بخشی در مقاطع نازک به خوبی دیده شده است و به طور خلاصه شامل دربرگرفته شدن کردیریت، گارنت و بیوتیت در درون پلاژیوکلازهای با مشخصه زون‌بندی نوسانی، بافت غربالی بیوتیت در حضور کردیریت + سیلیمانیت منشوری + اسپیلت + گارنت و فلدسپارهای ارتوکلاز باافت پریتی که ماکل کارلسbad را قطع کرده‌اند، مساعد برای واپاشی از این بیگانه سنگ‌های رسی شیستی که بهشت میگماتیتی شده‌اند، مساعد برای واپاشی در اثر جریان همrfتی در بخش‌های ژرف بوده‌اند (شکل‌های ۳-د). وجود فلدسپارهای پتاسیم پریتی و تشابه ترکیبی بلورهای بیوتیت، مسکوویت و گارنت بیگانه سنگ‌های میگماتیتی شده با بیگانه بلورهای (زنوکریست) موجود در بخش‌های آلایش یافته (بخش‌های از توده که غنی در کانی‌های تیره هستند) به احتمال، دلایل منطقی برای واپاشی این بیگانه سنگ‌ها هستند.

۴- شیمی کانی

کلیه تجزیه‌های نقطه‌ای کانی‌ها به وسیله دستگاه الکترون میکروپریوب Jeol GXA 8900 در دانشگاه کربیستین آبرت (کیل) آلمان انجام شد. برای تجزیه فازهای اصلی و سنگ‌ساز جریان پریوب ۱۵ nA ۲۰ kV با پتانسیل شتاب دهنده ۱۵ kV استفاده شد. زمان تجزیه هر نقطه بسته به نوع کانی و عناصر مورد نیاز برای تجزیه از

میلیون سال پیش است. سن‌های به دست آمده برای میانبارهای گرانیتی پرآلومینوس بر اساس روش SHRIMP (بر روی زیرکن) و CHIME (بر روی مونازیت) به ترتیب $164\pm 8/1$ و 171 ± 10 میلیون سال پیش است. همچنین سن توده ماگمایی غیر کوهزایی اصلی بر اساس روش SHRIMP (بر روی زیرکن) $170\pm 5/1/9$ میلیون سال پیش است. این روابط سنی نشان می‌دهد که احتمالاً انواع سنگ‌های موجود در این باتولیت با هم در ارتباط هستند.

هدف از این پژوهش بررسی فرایند آلایش ماگمایی همراه با تبلور تفریقی در باتولیت تله‌پهلوانی با ترکیب اولیه لوکوکوارتز-دیوریت-آنورتوزیت است. این مطالعه می‌تواند مقدمه‌ای بر بررسی آلایش ماگمای باتولیت‌ها با بیگانه سنگ‌های رسی دگرگون شده (قطعاتی از شیسته‌ای دگرگونی ناحیه‌ای) در زون سنتاج-سیرجان باشد.

۲- روش مطالعه و پژوهش

به منظور مطالعه آلایش ماگمایی، نمونه‌های در صحراء بر اساس روابط میان بیگانه سنگ‌ها و سنگ‌های میزان برداشت شدن و از آنها مقاطع نازک تهیه و روابط سنگ‌نگاری و پتروفابریکی با مشاهدات صحرایی منطبق شد. سپس مطالعات شیمی کانی برای بررسی تغییرات در روند ترکیبی کانی‌های سنگ‌های مختلف صورت گرفت.

۳- شواهد صحرایی و سنگ‌نگاری

بررسی دقیق صحرایی رخمنون‌های سنگی مختلف در باتولیت تله‌پهلوانی نشان می‌دهد که چندین نوع رخمنون سنگی مختلف در محدوده مورد مطالعه وجود دارد. سنگ‌های اصلی موجود در باتولیت یادشده بخش‌های هستند که اکتون ویژگی یک گرانو-دیوریت-تونالیت بیوتیت‌دار را دارند. لکه‌هایی از تجمعات پلاژیوکلازی-کوارتزی در این سنگ‌ها فراوان است (شکل‌های ۲-ب و ۲-د). ترکیب این لکه‌ها لوکوکوارتز-دیوریت-آنورتوزیت است. برخی از لکه‌های یادشده حجمی هستند و گاه تا چندین ده سانتی‌متر می‌رسند (شکل ۲-الف). بخش‌های تیره تر سنگ‌های اصلی را بیوتیت، مسکوویت، گارنت، کوارتز و کردیریت تشکیل می‌دهند (شکل‌های ۲-د و ۲-ه). گاه درصد این بلورها تا ۴۰ درصد حجم سنگ می‌رسد (شکل‌های ۲-ج و ۲-ه). بقیه درصد حجمی این سنگ‌ها را پلاژیوکلاز ۴۵ درصد آنورتیت (بخش شیمی کانی) و ۵ تا ۱۰ درصد را هم کوارتز تشکیل داده است.

برخی از بیگانه سنگ‌ها (قطعاتی از شیسته‌ای دگرگونی ناحیه‌ای) ساختارهای میگماتیتی را نشان می‌دهند که احتمالاً نشانگر ذوب بخشی در آنها است (شکل‌های ۳-الف، ۳-ب، ۳-ج و ۳-د). این ساختارها بیشتر در بخش‌های مرکزی و جنوب باخته توده نفوذی دیده می‌شوند. بیگانه سنگ‌هایی با ساختار میگماتیتی در بخش‌هایی که لوکوگرانیت‌های پرآلومینوس و پیگماتیت‌ها حضور دارند گسترش زیادی یافته‌اند. در این بیگانه سنگ‌ها بخش‌های روشن به صورت رگه‌ای (شکل‌های ۳-الف و ۳-ب)، عدسی، تدریجی (شکل ۳-ج) و لکه‌ای مانند (شکل ۳-د) در درون بخش‌های تیره گسترش دارند. در نمونه دستی این بیگانه سنگ‌ها، بخش‌های تیره‌تر (مالاتوسوم) به طور عمدۀ از بیوتیت، مسکوویت و گارنت و بخش‌های روشن (لوکوسوم) از کوارتز و فلدسپار پتانسیم تشکیل یافته‌اند. در بسیاری از این ساختارها مرز میان بخش‌های روشن و تیره تدریجی (شکل‌های ۳-الف تا ۳-د) است که نشانگر خروج بخش روشن از درون بخش‌های تیره است.

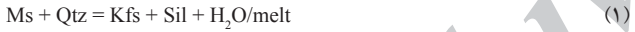
میانبارهایی از لوکوگرانیت‌ها دیده می‌شود که در بخش‌های مرکزی و جنوب باخته توده نفوذی تله‌پهلوانی گسترش دارند. قطر آنها از چندین سانتی‌متر تا چندین ده متر و بندرت تا ۵۰ متر می‌رسد. رنگ کاملاً روشی دارند و از کوارتز، فلدسپار پتانسیم و مسکوویت (همراه با کمی گارنت و کردیریت) تشکیل شده‌اند.

۵- بحث و نتیجه‌گیری

در نتیجه کافتی شدن سرزمین گندوانا مانگماتیسم غیرکوهزایی مهم‌ترین واقعه سنگ‌شناختی در طول این واقعی بوده است (Sears et al., 2005). جدایش زون دگرگونی سنتدج-سیرجان در اثر کافتی شدن باعث تشکیل مانگما غیرکوهزایی تله‌پهلوانی (شکل ۱) با ترکیب لوکو کوارتز دیوریت-آنورتوزیت و گابروهای آپاتیت‌دار-پیروکسینت (کمپلکس مافیک-اولترامافیک) در بخش جنوبی این زون شد (فضل نیا، ۱۳۸۶؛ Fazlnia et al., 2007). در طول تزریق اولیه مانگماهای اصلی (لوکو کوارتز دیوریت-آنورتوزیت) به بخش جنوب باختり کمپلکس دگرگونی ناحیه‌ای قوری، سنگ میزان که به طور عمده رسی دگرگون شده است، شکسته شده و بنابراین مانگماهای یادشده به صورت قدرتمند (Powerful) و در اثر عملکرد احتمالی گسل‌های اصلی منطقه (شکل ۱) نفوذ کرده است.

قطعات فرو افتداده (بیگانه‌سنگ‌ها) در این مانگماهای طور عمده سنگ‌های رسی دگرگون شده (قطعاتی از شیسته‌های دگرگونی ناحیه‌ای) هستند. بنابراین بیگانه‌سنگ‌های حاضر، غنی از کانی‌های آلومینیم‌دار هستند. بیگانه‌سنگ‌های رسی شیستی دگرگون شده، دگرگونی مجاورتی دما بالایی را تحمل کرده‌اند. حرارت و فشار اوج دگرگونی مجاورتی این بیگانه‌سنگ‌ها (760 ± 27 درجه سانتی‌گراد و $5/1 \pm 1/2$ کیلوبار) (فضل نیا، ۱۳۸۸)، نشانگر محدوده ذوب بخشی سنگ‌های اشباع از آب است. در اثر این شرایط دگرگونی، برخی بیگانه‌سنگ‌های رسی شیستی، ذوب بخشی گسترده‌ای را تحمل کرده‌اند به گونه‌ای که به خوبی آثار ذوب بخشی و رگه‌های ذوب (لوکوسوم) در بیگانه‌سنگ‌ها مشخص می‌باشد (شکل ۲؛ Fazlnia, 2007). خلاصه‌ای از واکنش‌های ذوب بخشی برخی از بیگانه‌سنگ‌های رسی شیستی را می‌توان به صورت زیر بیان گردد.

(الف) در بیگانه‌سنگ‌هایی که دانه‌های مسکوویت به شدت تحلیل رفته‌اند می‌توان واکنش زیر را نوشت:



(ب) در بیگانه‌سنگ‌هایی که مسکوویت حضور ندارد و رگه‌های ذوب در آن همراه با گرده‌های کانیایی بیوتیت + فلدسپارپتاسیم + سیلیمانیت + کریدیریت + گارنت + کوارتز + پلازیوکلاز دیده می‌شود، واکنش‌های زیر را می‌توان نوشت:



(ج) در نمونه‌های بیگانه‌سنگی که دانه‌های گارنت در حال تحلیل هستند و بلورهای اسپیل در کنار کریدیریت، فلدسپارپتاسیم پرتیتی و سیلیمانیت حضور دارند. درصد مواد اولیه بیوتیت در این نمونه‌ها کاهش چشمگیری یافته است. واکنش زیر را می‌توان برای چنین نمونه‌هایی نوشت:



غله بر نیروهای پیوستگی مذاب-بلور باعث شده است تا بخشی از مذاب تولید شده قabilیت جدایش از بیگانه‌سنگ را به دست آورد. احتمالاً در بخش‌های ژرف‌تر که این بیگانه‌سنگ‌ها تجمع بیشتری داشته‌اند، در اثر اجتماع بخشی از مذاب‌های تولید شده و نآمیختگی آنها با مانگماهای میزان (به علت دما و ترکیب شیمیایی مختلف)، عدسی‌های کوچکی از گرانیت‌های پرآلومینوس غنی از پتاسیم در باتولیت تله‌پهلوانی تشکیل شده است. در مقابل، برخی دیگر از بیگانه‌سنگ‌های رسی شیستی، به علت تحمل دگرگونی مجاورتی دما بالا و جریانات هم‌رفته درون مانگماهای اولیه در طول ضربان‌های بعدی تزریق مانگماهای میزان، خرد شده و به صورت مکانیکی بلورهای جامدشان باعث آلایش گسترده‌ای در باتولیت تله‌پهلوانی شده است (شکل ۸ در; Fazlnia et al., 2007).

وجود رگه‌هایی از پگماتیت در درون این باتولیت، که به طور عمده در نزدیکی تجمع

۳۰ ثانیه تا ۶۰ ثانیه متغیر بود. ترکیبات عناصر اصلی کانی‌ها در نمونه‌های انتخاب شده از باتولیت تله‌پهلوانی، در جدول ۱ آورده شده است. در این پژوهش از شیمی کانی بیوتیت، مسکوویت و پلازیوکلاز، برای بررسی‌های آلایش سود برده شده است.

۴-۱. بیوتیت

ترکیب بیوتیت‌ها در بیگانه‌سنگ‌های رسی شیستی فرو افتاده در این باتولیت کم و بیش مشابه با بیوتیت‌های موجود در متن سنگ‌های اصلی است (برخی از نقاط تجزیه شده بیوتیت به دلیل خروج تیتانیم در اثر فشار یا عوامل دگرسانی Ti کمتری دارند). چنین ویژگی نشان می‌دهد که منشأ آنها یکی است (شکل ۶-الف) و نشانگر واپاشی بیگانه‌سنگ‌های رسی شیستی و ورود بلورهای سنگ دیواره به مانگما است. اگر بیوتیت‌ها از منشأ مانگماهای مبتلور می‌شوند، محدوده ترکیبی آنها در محلی دورتر از محدوده‌های توصیفی قرار می‌گرفت و احتمالاً غنی‌تر از FeO می‌شوند. به طور معمول بیوتیت‌های مانگماهای با سهولت بیشتری قابلیت جذب آهن را دارند و در صورتی که منزیم در مذاب زیاد باشد، احتمال جذب آن به وسیله تشکیل آمفیول فراهم شده و بنابراین بیوتیت‌ها غنی از آهن می‌شوند. اما در فرایند دگرگونی منزیم یک عنصر است که با افزایش درجه دگرگونی در بیوتیت افزایش می‌یابد.

۴-۲. مسکوویت

مسکوویت در کلیه انواع سنگی کم و بیش ترکیب یکنواختی دارد و در محدوده زون گارنت و یا نزدیک به محدوده زون استاورولیت و آندالوزیت قرار می‌گیرد (شکل ۶-ب). به طور کلی مسکوویت‌ها در بیگانه‌سنگ‌های رسی شیستی و در انواعی که لوکو کوارتز دیوریت-آنورتوزیت‌ها را آلوده کرده‌اند، ترکیب مشابهی دارند.

۴-۳. پلازیوکلاز

پلازیوکلازها در انواع سنگ‌های مختلف یک محدوده ترکیبی گسترده از Ca و Na دارند (شکل ۷). نیمرخ پلازیوکلاز لوکو کوارتز دیوریت-آنورتوزیت‌ها (شکل ۷-الف) غنی از Ca (میان ۴۹ و ۳۸ درصد آنورتیت) است. بلورهای پلازیوکلاز در این نوع از سنگ‌ها تغییرات Ca کمی را به سوی حاشیه نشان می‌دهند. مقدار Ca به سوی حاشیه کاهش جزیی می‌یابد. نیمرخ ترکیبی (شیمیایی) آنها کم و بیش مسطح و صاف است.

نیمرخ پلازیوکلاز در گرانو دیوریت-تونالیت‌ها (لوکو کوارتز دیوریت-آنورتوزیت‌های آلایش‌یافته) هسته‌های یکنواخت و مسطح با متوسط ترکیبی ۴۸-۴۵ درصد آنورتیت (اشکال ۷-ب و ۷-ج) دارند، اما در نزدیکی حواشی به ناگاه مقدار Ca (جزء آنورتیت) کاهش و Na (جزء آلیت) افزایش می‌یابد. چنین نیمرخ‌هایی در اثر آلایش یا آمیختگی مانگماهای و یا نوسانات در مقدار آب ایجاد می‌شوند (Tsuchiyama, 1985؛ مرادیان و فضل نیا، ۱۳۸۳). با توجه به این که هیچ شاهدی برای نوسانات در مقدار آب مانگما وجود ندارد (برای مثال، پلازیوکلاز با بافت اسفنجی در متن بلور یا در حاشیه و بیوتیتی با بافت اسفنجی یا حواشی اکسید شده)، بنابراین احتمالاً نیمرخ شکل ۷-ج پلازیوکلازی را نشان می‌دهد که در اثر تزریق دویاره مانگما، Ca دوباره به سوی حاشیه آن افزایش یافته است. هسته‌ها همگی کلسیمی تر از حواشی هستند، به همین علت در اثر آلایش یا آمیختگی مانگماهای بافت غربالی (یا همان اسفنجی) در بلورهای پلازیوکلاز ایجاد نشده است. اگر مذاب جدید کلسیمی تر از پلازیوکلاز مبتلور شده پیشین مانگماهای میزان باشد، بلور پلازیوکلاز در حاشیه بافت شبه‌غربالی پیدا می‌کند (Tsuchiyama, 1985؛ مرادیان و فضل نیا، ۱۳۸۳).

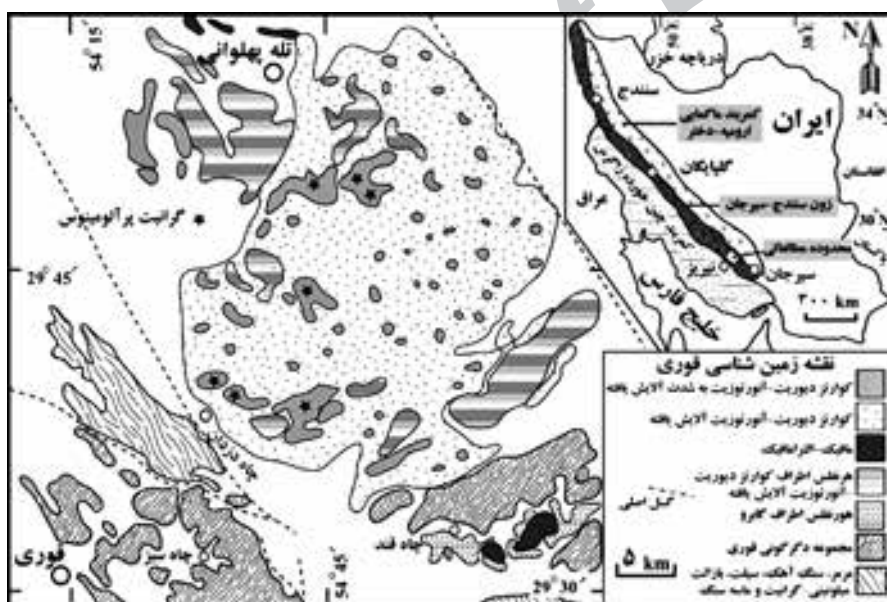
در بیگانه‌سنگ‌های رسی شیستی غنی از کریدیریت، Ca پلازیوکلاز از هسته به سوی حاشیه کاهش می‌یابد (شکل ۷-د). این پلازیوکلاز زون‌بندی نوسانی مانگماهای دارد و کریدیریت و بیوتیت را به صورت دربرداری در حاشیه خود گرفته است. بنابراین احتمالاً احوالی Ca در اثر تبلورها در اثر مذاب به وجود آمده‌اند (فضل نیا، ۱۳۸۸).

به ایجاد ساختارهای میگماتیتی و میانبارهای گرانیتی پرآلومینوس و واپاشی برخی بیگانه سنگ‌ها شده، در نتیجه آلایش گسترده در این باтолیت رخ داده است.

سپاسگزاری

به این وسیله از پروفسور دکتر فولکر شنک که شرایط لازم برای انجام آزمایش‌های مختلف را در دانشگاه کیل آلمان برای نگارنده فراهم نمودند تشکر می‌شود. از تکنسین‌های آزمایشگاه الکترون میکروپروروب جناب آقای دکتر پیتر ابل و سرکار خانم باریارا مادر بواسطه راهنمایی و انتخاب استانداردهای مناسب برای تجزیه نقطه‌ای و آندریاس فیلر بواسطه تهیه مقاطع نازک مخصوص الکترون میکروپروروب تشکر می‌شود. از آقایان دکتر محسن موزن، دکتر عباس مرادیان و دکتر صمد علیپور که ایده‌های مناسبی را در نگارش مقاله ارائه نمودند تشکر می‌شود. از جناب آقای دکتر علیرضا شاکر اردکانی و جناب آقای مهندس سید جواد یوسفی که در نمونه برداری صحرایی کمک‌های فراوانی به نویسنده مبذول داشتند سپاسگزاری می‌شود. از وزارت علوم، تحقیقات و فناوری جمهوری اسلامی ایران، دانشگاه‌های ارومیه و شهید باهنر کرمان و دولت آلمان که همکاری لازم را برای این پژوهش مبذول داشتند تشکر می‌شود.

بیگانه سنگ‌های با ساختار میگماتیتی و گرانیت‌های پرآلومینوس رخ داده‌اند، نشان می‌دهد که احتمالاً واکنش‌های ذوب بی‌آب شدن کانی‌های آبداری مانند مسکوویت و بیوتیت موجب آزاد شدن فازهای آبگین غنی در عناصر ناسازگار شده است. سپس این فاز آبگین توانسته است رگه‌های پگماتیتی را درون این باтолیت ایجاد نماید. تشابه سنی بیگانه سنگ‌های با ساختار میگماتیتی، گرانیت‌های پرآلومینوس و توده ماقمایی اصلی گویای این مطلب است که کلیه وقایع سنگ‌شناختی در این توده در زمانی مشابه انجام شده است. بنابراین، نفوذ ماقمای غیرکوه‌زایی به ژرفای پوسته میانی که پیش‌تر یک واقعه دگرگونی ناحیه‌ای را در توآرسین تحمل کرده‌اند، باعث ایجاد یک باтолیت بهشت نامگذاری را به واسطه آلایش در بخش شمال خاور کمپلکس دگرگونی قوری نموده است. اختلاف سنی کم واقعه دگرگونی ناحیه‌ای و نفوذ باтолیت مورد مطالعه نشان می‌دهد که هنگام نفوذ این توده ماقمایی، سنگ میزان دگرگونی، دماهای بالایی داشته است. این وضعیت باعث شده است که اولاً توده ماقمایی، حرارت و حالت مذاب خود را سریع از دست ندهد؛ ثانیاً اتلاف دما برای افزایش حرارت بیگانه سنگ‌ها تا نقطه ذوب به کمینه برسد. این عامل باعث شده است که سقوط بخش‌های از سنگ میزان خرد شده به بخش‌های ژرف باтолیت (شکل ۸ در Fazlnia et al., 2007)، راحت‌تر صورت گیرد و در نهایت فرایندهای دگرگونی و ذوب در این بیگانه سنگ‌ها، در ژرفای بیشتر باтолیت، منجر



شکل ۱- نقشه زمین‌شناسی ساده شده محدود شمال خاور نیریز (سیزه‌ای و همکاران، ۱۳۷۲).



شکل ۲- عکس‌های نمونه دستی از انواع سنگ‌های رخمنون یافته در باтолیت تله‌پهلوانی

(الف) لوکوکوارتر دیوریت، (ب) بخش‌های آلایش یافته از باтолیت، (a) بخش‌های غنی در پلازیوکلاز با آلایش بسیار کم، (b) آثار بیگانه سنگ‌های رسی شیستی در حال واپاشی.

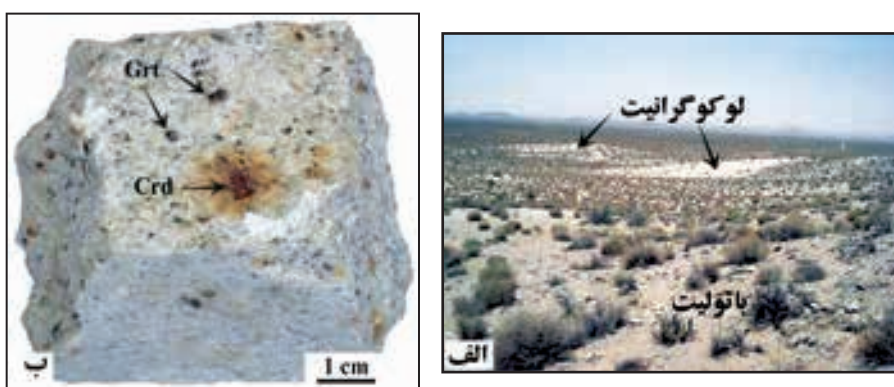


ادامه شکل ۲

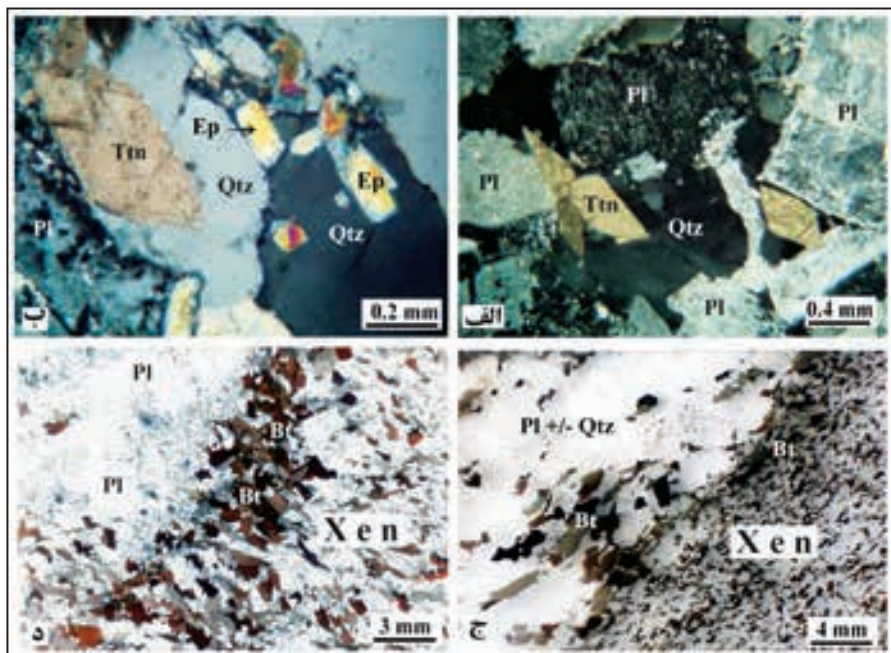
ج) آثار بیگانه‌سنگ‌های رسی که هنوز از بین نرفته‌اند. بسیاری از بیگانه‌سنگ‌ها کشیده هستند، د) شکلی به مانند ب. در این شکل نیز ناممکنی توزیع کانی‌ها آشکارا مشخص است. ه) یکنواخت شدن پراکنده‌گی انواع کانی‌ها که به سنگ منظره یک گرانودیوریت-تونالیت داده است.



شکل ۳- اشکال صحرایی ذوب بخشی و گسترش ساختارهای میگمایتی در بیگانه‌سنگ‌های رسی شیستی.
الف) رگه روش که گرایست پرآلومینوس است (لوکوسوم: Leu) با بیگانه‌سنگ (ملاتوسوم: Mel)
مرز تدریجی دارد، ب) مرز تدریجی بیگانه‌سنگ‌ها (ملاتوسوم) با رگه‌های ذوب بخشی (لوکوسوم)،
ج) مرز کاملاً تدریجی بیگانه‌سنگ (ملاتوسوم) و رگه ذوب بخشی (لوکوسوم). به متن مراجعه نمایید.

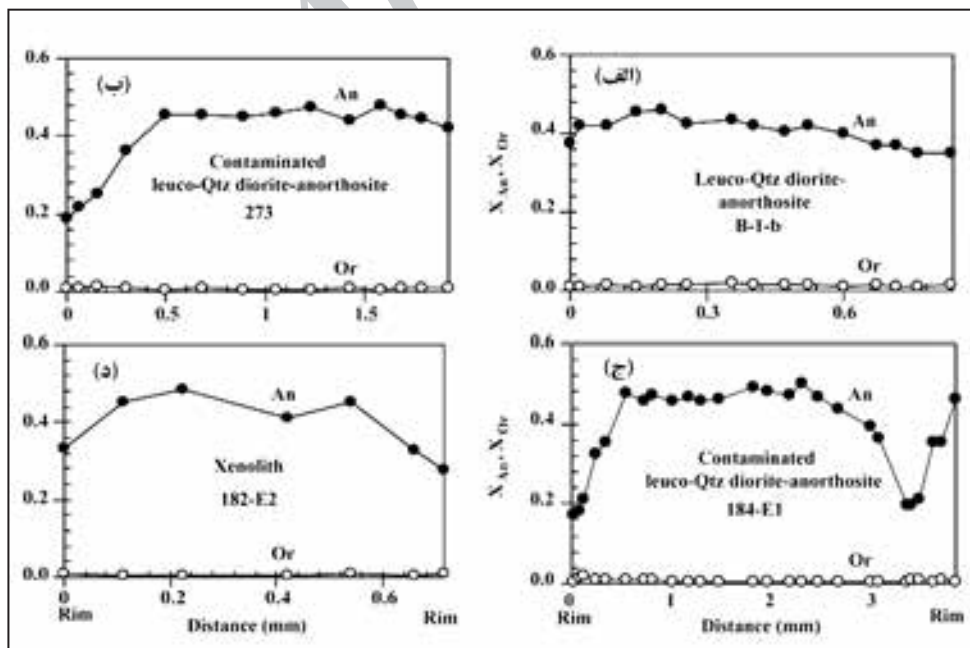
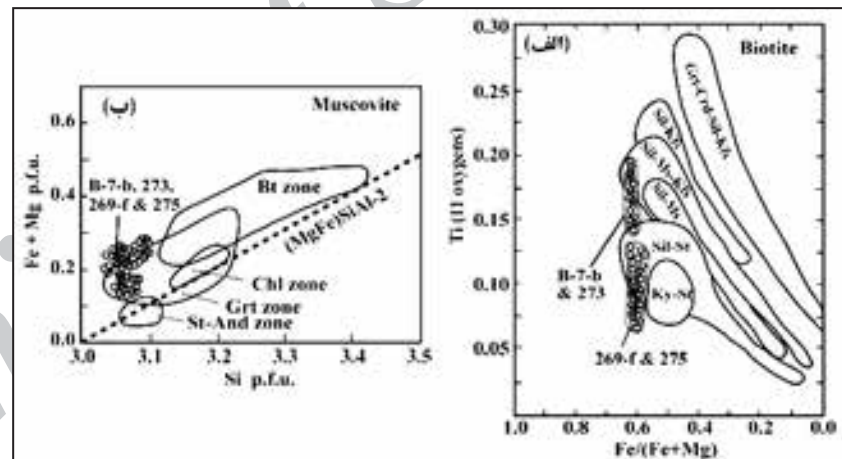


شکل ۴- شکل‌های میانبارهای گرانیتی پرآلومینوس. الف) رخمنون صحرایی از میانبار گرانیتی به صورت عدسی شکل در درون
باتولیت. ب) نمونه دستی گرایست پرآلومینوس. کلمات مخفف از Kretz (1983) است.



شکل ۵- تصاویر میکروسکوپی بخش‌هایی از باتولیت با آایش کمینه و آایش شدید. الف و ب) تصاویری از لوکو-کوارتز دیوریت با بلورهای ماقمایی اسفن و اپدوت، ج و د) نمایش میکروسکوپی بخش‌های آایش یافته در اثر و پاشی بیگانه سنگ‌های رسی شیستی Zex (بیگانه سنگ رسی شیستی).

شکل ۶- نمایش ترکیب شیمیایی بیوتیت و مسکوویت. الف)- ترکیب بیوتیت‌هایی از انواع سنگ‌ها در نمودار Ti در برابر $Fe/Fe+Mg$ (Robinson, 1991) (B), (ب) ترکیب مسکوویت‌هایی از انواع سنگ‌ها در نمودار $Fe/Fe+Mg$ (در فرمول شیمیایی بلور) در برابر $Fe/Fe+Mg$ (در فرمول شیمیایی بلور) ($Fe/Fe+Mg$ شماره‌ها: ۲۷۳، ۲۷۵، ۲۷۷). (Larid, 1988) آایش یافته؛ شماره: B-7-b و ۲۶۹-f بیگانه سنگ رسی شیستی فرو افتاده.



شکل ۷- نمایش ترکیب شیمیایی بلورهای پلازیوکلاز. الف) یک نمونه سنگ که ترکیب لوکوکوارتز دیوریت دارد. همچنین نمونه‌هایی از انواع آنورتوزیتی که تقریباً قاده کوارتر هستند نیز همین روندها را نشان می‌دهند، ب و (ج) انواع آایش یافته‌ای از لوکوکوارتز دیوریت و آنورتوزیت. هسته غنی در جزء آنورتیت است و به سوی حاشیه به سرعت از مقدار آن کم می‌شود. همچنین تصویری احتمال ضربان‌های تزریقی دوباره ماقمایی اصلی را نشان می‌دهد. د) یک پلازیوکلاز از بیگانه سنگ‌های رسی شیستی فرو افتداده با گردش‌های اوج دگرگونی و ساختار میگماحتی. کاهش جزء آنورتیت به سوی حاشیه، احتمالاً به دلیل رشد بلور ذکر طولی یا پهن از افزایش امکاناتی شدن است.

جدول ۱- تجزیه نقطه‌ای بیوتیت، مسکوویت و پلازیوکلار از انواع سنگ‌های موجود در باتو لیت تله‌پهلوانی.

Sample	269-f	B-7-b	182-E2	187	189-E2	264	272	273	269-f	B-7-b	187	189-E	264	272	273
Mineral	Bt	Bt	Bt	Bt	Bt	Bt	Bt	Bt	Ms	Ms	Ms	Ms	Ms	Ms	Ms
Type of rock	Xeno	Xeno	Xeno	Granite	Granite	Granite	Cont	Xeno	Xeno	Granite	Granite	Granite	Granite	in Kfs	Cont
	Mat	Mat	Mat	Mat	Mat	Mat	Mat	Mat	Mat	Mat	Mat	Mat	Mat	Mat	Mat
SiO ₂	34.61	35.03	34.18	34.04	34.91	34.68	34.28	35.36	46.22	45.23	46.02	46.35	46.53	46.23	45.82
TiO ₂	1.96	2.93	3.03	2.98	2.98	4.30	3.77	2.65	0.43	0.41	0.14	0.05	0.00	0.02	0.03
Al ₂ O ₃	19.62	19.41	19.80	18.95	17.70	18.01	18.29	18.18	36.21	35.83	36.76	35.85	35.77	34.97	36.05
FeO	22.05	20.43	23.57	26.71	24.18	25.59	23.64	22.96	0.76	0.92	0.96	0.95	0.96	1.23	0.84
MgO	7.35	7.14	6.49	3.39	5.88	3.58	3.65	0.43	0.42	0.55	0.22	0.41	0.49	0.60	0.04
MnO	0.12	0.34	0.19	0.41	0.45	0.43	0.68	7.35	0.03	0.00	0.00	0.03	0.04	0.09	0.54
Na ₂ O	0.11	0.18	0.10	0.12	0.09	0.10	0.10	0.08	1.22	0.71	0.60	0.62	0.79	0.75	0.56
K ₂ O	9.36	9.74	9.65	9.52	9.91	9.49	9.61	9.90	9.86	11.09	11.04	10.83	10.46	10.51	11.30
Total	95.18	95.19	97.00	96.11	96.10	96.18	94.02	96.91	95.15	94.74	95.73	95.09	95.04	94.39	95.17
Structural formulae on a basis of 22 oxygens															
Si	5.35	5.38	5.23	5.35	5.43	5.41	5.44	5.41	6.13	6.08	6.10	6.18	6.19	6.21	6.12
Al ^{IV}	2.66	2.62	2.77	2.65	2.57	2.59	2.56	2.59	1.87	1.92	1.90	1.82	1.81	1.79	1.88
Al ^{VI}	0.92	0.90	0.81	0.86	0.68	0.73	0.86	0.69	3.79	3.75	3.84	3.81	3.80	3.75	3.80
Ti	0.23	0.34	0.35	0.35	0.35	0.51	0.45	0.31	0.04	0.04	0.01	0.00	0.00	0.00	0.00
Fe ²⁺	2.85	2.63	3.02	3.51	3.15	3.34	3.14	2.94	0.08	0.10	0.11	0.11	0.11	0.14	0.09
Mg	1.69	1.64	1.48	0.79	1.36	0.83	0.86	0.06	0.08	0.11	0.04	0.08	0.10	0.12	0.11
Mn	0.02	0.04	0.02	0.05	0.06	0.06	0.09	1.68	0.00	0.00	0.00	0.00	0.00	0.01	0.00
Na	0.03	0.05	0.03	0.04	0.03	0.03	0.03	0.02	0.31	0.18	0.15	0.16	0.20	0.19	0.14
K	1.85	1.91	1.88	1.91	1.97	1.89	1.95	1.93	1.67	1.90	1.87	1.84	1.78	1.80	1.93
Total	15.58	15.50	15.59	15.52	15.59	15.39	15.39	15.62	13.99	14.09	14.03	14.01	13.99	14.02	14.07
X _{Fe}	0.63	0.62	0.67	0.82	0.70	0.80	0.78	0.64	0.50	0.49	0.71	0.57	0.53	0.54	0.47

Notes: Granite: Per-aluminous granite; Xeno: xenolith; Inn R: Inner rim; Out R: Outer rim; Anor: anorthosite; Cont:

contaminated leuco-quartz diorite-anorthosite; Mat: matrix

Sample	269-f	269-f	B-7-b	B-7-b	187	264	264	272	272	272	273	273	B-1-b	B-1-b
Mineral	Pl	Pl	Pl	Pl	Pl	Pl	Pl	Pl	Pl	Pl	Pl	Pl	Pl	Pl
Type of rock	Xeno	Xeno	Xeno	Xeno	Granite	Cont	Cont	Anor						
	Rim	Core	Rim	Core	Mat	Rim	Core	Out r	Inn r	Core	Rim	Core	Rim	Core
SiO ₂	64.56	59.74	59.56	55.09	60.92	66.92	60.50	62.49	66.33	61.17	63.65	56.42	58.33	55.96
Al ₂ O ₃	22.66	25.90	25.63	28.37	25.19	20.95	25.59	23.42	20.43	24.09	23.25	28.47	25.92	27.32
Fe ₂ O ₃	0.09	0.09	0.17	0.04	0.13	0.04	0.05	0.04	0.00	0.00	0.18	0.00	0.11	0.06
CaO	3.11	6.75	6.37	9.83	6.02	1.16	6.50	4.50	1.36	5.76	3.99	9.83	7.78	10.01
Na ₂ O	9.72	7.54	7.72	5.82	8.08	10.93	7.77	8.78	10.82	8.23	9.46	5.96	6.99	5.79
K ₂ O	0.08	0.08	0.17	0.09	0.16	0.07	0.34	0.32	0.15	0.25	0.18	0.12	0.20	0.12
BaO	0.03	0.02	0.04	0.00	0.06	0.05	0.04	0.00	0.01	0.05	0.02	0.02	0.00	0.00
Total	100.25	100.13	99.66	99.24	100.57	100.11	100.80	99.55	99.10	99.55	100.73	100.82	99.33	99.25
Structural formulae on a basis of 8 oxygens														
Si	2.84	2.66	2.66	2.50	2.69	2.93	2.67	2.78	2.94	2.73	2.80	2.51	2.62	2.53
Al ^{IV}	1.17	1.36	1.35	1.52	1.31	1.08	1.33	1.23	1.07	1.27	1.20	1.50	1.37	1.46
Total	4.01	4.01	4.01	4.01	4.01	4.01	4.01	4.01	4.00	4.00	4.00	4.01	4.00	3.99
Fe ³⁺	0.00	0.00	0.01	0.00	0.00	0.00	0.00	0.00	0.00	0.00	0.01	0.00	0.00	0.00
Ca	0.15	0.32	0.31	0.48	0.29	0.05	0.31	0.21	0.06	0.28	0.19	0.47	0.38	0.49
Na	0.83	0.65	0.67	0.51	0.69	0.93	0.67	0.76	0.93	0.71	0.81	0.52	0.61	0.51
K	0.00	0.00	0.01	0.01	0.01	0.00	0.02	0.02	0.01	0.01	0.01	0.01	0.01	0.01
Ba	0.00	0.00	0.00	0.00	0.00	0.00	0.00	0.00	0.00	0.00	0.00	0.00	0.00	0.00
Total	0.98	0.98	0.99	0.99	0.99	0.99	1.00	0.99	1.00	1.00	1.01	0.99	1.00	1.00
An	0.15	0.33	0.31	0.48	0.29	0.06	0.31	0.22	0.06	0.28	0.19	0.47	0.38	0.48
Ab	0.85	0.67	0.68	0.51	0.70	0.94	0.67	0.77	0.93	0.71	0.80	0.52	0.61	0.51
Kfs	0.00	0.00	0.01	0.01	0.01	0.00	0.02	0.02	0.01	0.01	0.01	0.01	0.01	0.01

کتابخانه

- جمشیدی، ف.، ۱۳۸۲- مطالعه پترولوری و پتروزنر سنگ‌های گرانیتیویدی چاه‌زدان واقع در جنوب غرب شهر بابک، پایان نامه کارشناسی ارشد، دانشگاه شهید باهنر، دانشکده علوم سبزه‌ایی، م.، نوازی، م.، قوردل، م.، حمدی، س. ب.، روش روان، ج. و اشرافی، س. ا.، ۱۳۷۲- "نقشه ۱:۲۵۰۰۰ نیریز"، سازمان زمین‌شناسی کشور.
- فضل نیا، ع. ن.، ۱۳۸۶- مطالعه با تولیت جنوب غرب شهر بابک و ارتباط آن با سنگ‌های دگرگونی شمال شرق نیریز، پایان نامه دکترای، دانشگاه شهید باهنر، دانشکده علوم فصل نیا، ع. ن.، ۱۳۸۸- ذوب بخشی زنولیت‌های رسی فرو افتداد در با تولیت تله پهلوانی، شهر بابک: دلایل تشکیل میانبارهای گرانیتی پرآلومینوس، مجله علوم دانشگاه شهید چمران، شماره ۲۲ (قسمت ب): ۷۸-۶۱.
- فضل نیا، ع. ن.، ۱۳۷۹- پتروگرافی، رُثوشمی و پتروزنر گرانیتیویدی‌های چهارگنبد، پایان نامه کارشناسی، دانشگاه شهید باهنر کرمان، دانشکده علوم مرادیان، ع. و فضل نیا، ع. ن.، ۱۳۸۳- آلاش و کاهش فشار آدیباتیک بر اساس شواهد صحرایی و میکروسکوپی در دایک‌های میکرودیوریت پورفیری کوارتزدار، چهارگنبد، سیرجان، ششمین همایش انجمن زمین‌شناسی ایران، دانشگاه شهید باهنر کرمان.

References

- Arvin, M., Pan, Y., Dargahi, S., Malekizadeh, A. & Babaei A., 2007- Petrochemistry of the Siah-Kuh granitoid stock southwest of Kerman, Iran: Implications for initiation of Neotethys subduction, journal of asian earth sciences, 30: 474-489.
- Ashwal, L. D., 1993- Anorthosite, 2nd edition. Springer-Verlag, Berlin, Germany, 422 p.
- Bateman, R., 1995- The interplay between crystallization, replenishment and hybridization in large felsic magma chambers, earth-science reviews, 39: 91-106.
- Bédard, J. H., 2001- Parental magmas of the Nain Plutonic Suite anorthosites and mafic cumulates: a trace element modelling approach, contributions to mineralogy and petrology, 141: 474-771.
- Fazlnia, A. N., Moradian, A., Rezaei, K., Moazzen, M. & Alipour, S., 2007- Synchronous Activity of Anorthositic and S-type Granitic magmas in Chah-Dozdan batholith, Neyriz, Iran: Evidence of Zircon SHRIMP and Monazite CHIME Dating, Journal of Sciences, Islamic Republic of Iran, 18: 221-237.
- Fazlnia, A. N., Schenk, V., Van der Straaten, F. & Mirmohammadi, M. S., 2009- Petrology, Geochemistry, and Geochronology of Trondhjemites from the Qori Complex, Neyriz, Iran, lithos, 112: 413-433.
- Golonka, J., 2004- Plate tectonic evolution of the southern margin of Eurasia in the Mesozoic and Cenozoic, tectonophysics, 381: 235-273.
- Kadioğlu, Y. K., & Güleç, L. N., 1999- Types and genesis of the enclaves in Central Anatolian granitoids, geological journal, 34: 243-256.
- Kocak, K., 2006- Hybridization of mafic microgranular enclaves: mineral and whole-rock chemistry evidence from the Karamadazi Granitoid, Central Turkey Kerim Kocak, international journal of earth sciences, 95:587-607.
- Kretz, R., 1983- Symbols for rock-forming minerals, American mineralogist, 68: 277-279.
- Kumar, S. & Rino, V., 2006- Mineralogy and geochemistry of microgranular enclaves in Palaeoproterozoic Malanjkhand granitoids, central India: evidence of magma mixing, mingling, and chemical equilibration, contributions to mineralogy and petrology, 152:591-609.
- Larid, J., 1988- Chlorites: metamorphic petrology, in: Bailey S.W. (eds.) Hydrous phyllosilicates. Reviews in Mineralogy. 19: 405-453.
- Perugini, D. Poli, G. Christofides, G. & Eleftheriadis, G., 2003- Magma mixing in the Sithonia Plutonic Complex, Greece: evidence from mafic microgranular enclaves, mineralogy and petrology, 78: 173-200.
- Petford, N., Paterson, B., McCaffrey, K. & Pugliese, S., 1996- Melt infiltration and advection in microdioritic enclaves, European journal of mineralogy, 8: 405-412.
- Robinson, P., 1991- The eye of the petrographer, the mind of the petrologist. American mineralogist, 76: 1781-1810.
- Sears, J. W., George, G. M. S. & Winne, J. C., 2005- Continental rift systems and anorogenic magmatism, lithos, 80: 147-154.
- Sheikholeslami, M. R., Pique, A., Mobayen, P., Sabzehei, M., Bellon, H. & Emami, M., 2008- Tectono-metamorphic evolution of the Neyriz metamorphic complex, Quri-Kor-e-Sefid area (Sanandaj-Sirjan Zone, SW Iran), Journal of Asian Earth Sciences, 31: 504-521.
- Sheikholeslami, R., Bellon, H., Emami, H., Sabzehei, M. & Pique, I., 2003- Nouvelles données structurales et datations ⁴⁰K-⁴⁰Ar sur roches métamorphiques de la région de Neyriz (Zone de Sanandaj-Sirjan, Iran méridional), Leur tethysien du Moyen-Orient, J. C. R. Geosciences, 335: 981-991.
- Tsuchiyama, A., 1985- Dissolution kinetics of plagioclase in the melt of the system diopside-albite-anorthite, and origin of dusty plagioclase in andesite, contributions to mineralogy and petrology, 89: 1-16.
- Ventura, G., Gaudio, P. D. & Iezzi, G., 2006- Enclaves provide new insights on the dynamics of magma mingling: A case study from Salina Island (Southern Tyrrhenian Sea, Italy), earth and planetary science letters, 243: 128-140.